



Universidade de Brasília
Instituto de Ciências Exatas
Departamento de Ciência da Computação
Programa de Pós-Graduação em Informática
Programação Paralela

Paralelismo em algoritmos de detecção de adulterações em imagens digitais

Vitor Filincowsky Ribeiro

Jefferson Chaves Gomes

Felipe Lopes de Souza

Agenda

1 Introdução

2 Algoritmo shift-vector

3 Aplicação desenvolvida

4 Implementação paralela

5 Considerações finais

Introdução

- Popularização das fotografias digitais
- Desenvolvimento de aplicativos de edição de imagens
- Utilização maliciosa

Introdução



Introdução

- Mecanismos anti-adulteração
- Detecção de adulterações
- Complexidade de hardware
- Alto custo computacional

Justificativa

Identificação de adulterações

- Análise espacial
- Extração de vetores, comparação de blocos de bytes, transformações matemáticas, operações matriciais...
- Importante esforço computacional

Justificativa

Motivação

- Determinação de níveis aceitáveis de performance
- Apresentação de resposta em tempo real

Justificativa

Motivação

- Determinação de níveis aceitáveis de performance
- Apresentação de resposta em tempo real

Proposta

- Paralelismo na execução
- Processamento distribuído

Objetivos

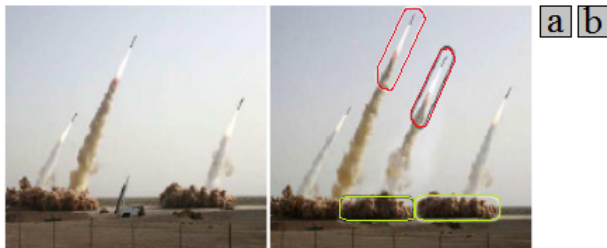
Avaliar a performance resultante da paralelização e distribuição de um algoritmo de identificação de adulterações em imagens digitais

Objetivos

Avaliar a performance resultante da paralelização e distribuição de um algoritmo de identificação de adulterações em imagens digitais

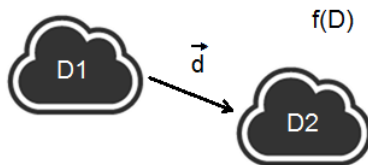
- Detecção de fraudes do tipo *copy-move forgery* em uma imagem digital com a utilização de um algoritmo de *shift vector*;
- Técnicas de paralelismo e processamento distribuído
- Avaliação de desempenho

Copy-move forgery



Copy-move forgery

Haverá ao menos duas regiões similares em uma imagem adulterada



Extração dos vetores característicos

- Imagem subdividida em blocos bxb
 - Imagem de dimensões MxN
 - $S = (M - b + 1)(N - b + 1)$ blocos
- Cálculo de vetor de características
 - Informações sobre cores, níveis de cinza e deslocamento dos blocos
 - Média dos valores RGB
 - Conversão para escala de cinza
- Divisão em quatro direções de luminância

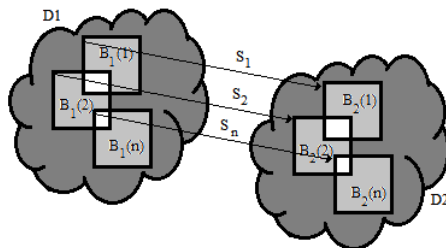


Busca por blocos similares

- Ordenação lexicográfica dos blocos
 - Matriz de dimensões $S \times b^2$
 - Comparação de blocos consecutivos V_i e V_j
 - Cálculo de similaridade

Eliminação dos falso-positivos

- Blocos similares não implicam duplicação de região
- Regiões duplicadas: blocos possuem o mesmo *shift*

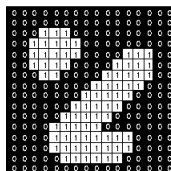


Eliminação dos falso-positivos

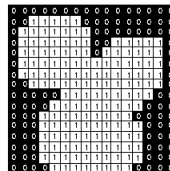
- Histograma criado para armazenar *shifts*
- $H(d') = H(dx', dy')$: frequência de ocorrências
- $d = \max(freq(H(d')))$
- Remoção de blocos similares incorretos

Determinação de adulteração

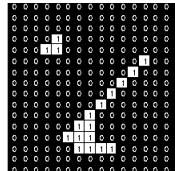
- Imagem binária
- Operação de abertura (erosão + dilatação)
 - Eliminação de elementos espúrios
 - Se há regiões conectadas, a imagem é adulterada
- *Merge* da imagem binária com a imagem de entrada



(a)



(b)



(c)

Implementação

- Processador Intel Core i7-4500U CPU @ 1.80GHz
 - dois núcleos e quatro *threads*
- 8GB de memória RAM
- SO Ubuntu 14.04 64 bits.
- Linguagem de programação: C++

Implementação serial

Desenvolvimento primordial assegura os resultados previstos

- Execução sequencial

Expectativa de melhora no desempenho

- Implementações incrementais da aplicação
- Execução paralela com OpenMP e MPI

Implementação serial

O algoritmo de *shift vector*

- Imagens divididas em blocos
- Cálculo do vetor de características
- Ordenação dos blocos
- Comparação de pares de blocos consecutivos
- Histograma de similaridade
- Descarte de falso-positivos

Implementação serial

O algoritmo de *shift vector*

- Imagens divididas em blocos
- Cálculo do vetor de características
- Ordenação dos blocos
- Comparação de pares de blocos consecutivos
- Histograma de similaridade
- Descarte de falso-positivos

- Geração do vetor de características: $O(n^2)$
- Demais tarefas: $O(n)$

Implementação serial

- Cinco imagens de diferentes tamanhos
- Imagem *img-05*: 4.971.033 blocos de 16x16 pixels

Label	Tamanho (MB)	Largura (px)	Altura (px)
img-01	1,1	1250	300
img-02	2,2	1250	575
img-03	4,3	1560	925
img-04	8,5	2070	1368
img-05	15,1	2592	1944

Implementação serial

Imagem	Tempo (μs)
img-01	4582935
img-02	8133682
img-03	15820772
img-04	37126480
img-05	58514158



(a)



(b)

OpenMP

Comportamento paralelo em programas com acesso a áreas de memória compartilhada

OpenMP

Comportamento paralelo em programas com acesso a áreas de memória compartilhada

- Escalonamento dinâmico foi o mais eficiente na quase totalidade das aferições
- Cálculo das características de um bloco por vez
- Número de *threads* incrementado em duas unidades a cada iteração

OpenMP

Imagem	2	4	6	8	10	Threads
img-01	3127274	2762568	2809358	2790926	2873154	Tempo (μs)
img-02	5344887	4694369	4732559	4782824	4743334	
img-03	10231756	9282441	9305634	9290024	9363854	
img-04	26321177	24317259	24641359	24603312	24527624	
img-05	39826680	36273938	37118727	37220529	36385214	
img-01	1,45	1,65	1,62	1,63	1,58	<i>speed-up</i>
img-02	1,52	1,73	1,72	1,70	1,71	
img-03	1,54	1,70	1,69	1,70	1,68	
img-04	1,40	1,51	1,49	1,50	1,50	
img-05	1,47	1,62	1,58	1,58	1,61	
img-01	72,99%	41,31%	27,08%	20,44%	15,88%	Eficiência
img-02	76,23%	43,39%	28,69%	21,29%	17,18%	
img-03	77,20%	42,55%	28,29%	21,25%	16,87%	
img-04	70,12%	37,95%	24,96%	18,75%	15,05%	
img-05	73,96%	40,60%	26,45%	19,78%	16,19%	

MPI

- Programas paralelos utilizando o modelo de memória distribuída
- Transmissão de mensagens entre programas paralelos que executam em ambientes multiprocessados

MPI

- Programas paralelos utilizando o modelo de memória distribuída
 - Transmissão de mensagens entre programas paralelos que executam em ambientes multiprocessados
-
- Seções lineares da imagem transmitidas a cada processo
 - Divisão das seções em janelas de 16x16 pixels

MPI

Imagem	2	4	6	8	10	Threads
img-01	4186326	4030228	3250678	3951783	4066305	Tempo (μs)
img-02	5471995	4986739	5625084	5173484	5582370	
img-03	11821220	9650020	10726416	10325904	11040981	
img-04	25856842	25744934	27673709	26095908	28700199	
img-05	42036315	38646075	42103407	39740096	43673177	
img-01	1,10	1,14	1,42	1,17	1,13	<i>speed-up</i>
img-02	1,50	1,65	1,46	1,59	1,47	
img-03	1,36	1,67	1,50	1,56	1,46	
img-04	1,46	1,47	1,37	1,45	1,32	
img-05	1,42	1,54	1,42	1,50	1,37	
img-01	55,28%	28,71%	23,73%	14,64%	11,38%	Eficiência
img-02	75,38%	41,35%	24,44%	19,93%	14,77%	
img-03	68,49%	41,95%	25,16%	19,60%	14,66%	
img-04	73,42%	36,87%	22,86%	18,18%	13,23%	
img-05	71,16%	38,70%	23,68%	18,82%	13,70%	

Conclusões

- Execução paralela: ganhos significativos com relação à execução sequencial
- *Speed-up* máximo
 - OpenMP: 1,73
 - MPI: 1,67
 - quatro *threads*
 - capacidade de *hyperthreading*

Conclusões

- OpenMP se mostrou mais eficiente
 - Não há tráfego de dados via rede
- MPI é menos eficiente
 - Interdependência de dados e complexidade inferior à distribuição/centralização
 - Custo de tráfego maior do que custo de processamento

Conclusões

- OpenMP se mostrou mais eficiente
 - Não há tráfego de dados via rede
- MPI é menos eficiente
 - Interdependência de dados e complexidade inferior à distribuição/centralização
 - Custo de tráfego maior do que custo de processamento
- Eficiência constante
 - Aumento no número de *threads*
 - Aumento do tamanho da entrada
- Detecção de *copy-move forgery* possui escalabilidade fraca

Obrigado!